

ЭНТРОПИЯ СЕГНЕТОЭЛАСТИКОВ
 $Rb_2KB^{3+}F_6$ (B^{3+} : Sc, In, Lu, Er, Ho)
И ТРОЙНАЯ ТОЧКА НА ДИАГРАММЕ $T(R_{B^{3+}})$

© И.Н.Флеров, М.В.Горев, В.Н.Воронов

Институт физики им. Л.В.Киренского
Сибирского отделения Российской академии наук,
660036 Красноярск, Россия
(Поступила в Редакцию 7 июля 1995 г.)

Измерена температурная зависимость теплоемкости эльпасолита Rb_2KLuF_6 в окрестности сегнетоэластических фазовых переходов $Fm\bar{3}m \rightarrow I4/m \rightarrow P12_1/n1$. Определены термодинамические характеристики и параметры термодинамического потенциала. Обсуждается фазовая диаграмма $T(R_{B^{3+}})$ кристаллов ряда $Rb_2KB^{3+}F_6$.

При изучении ряда эльпасолитов $Rb_2KB^{3+}F_6$, испытывающих последовательные сегнетоэластические фазовые переходы ($\Phi\Pi$) $Fm\bar{3}m \rightarrow I4/m \rightarrow P12_1/n1$ (B^{3+} : Lu, In, Sc), обнаружено, что уменьшение объема элементарной ячейки, вызванное как уменьшением размера иона B^{3+} , так и увеличением и гидростатического давления, приводит к расширению области тетрагонального искажения [1-3]. В соединениях с большим трехвалентным ионом $B^{3+} = Y, Er, Ho, Dy, Tb$ тетрагональная фаза отсутствует и осуществляется $\Phi\Pi$ непосредственно между кубической ($Fm\bar{3}m$) и моноклинной ($P12_1/n1$) фазами, являющейся триггерным [1,4-9]. Таким образом, можно было предположить, что на фазовой диаграмме $T(R_{B^{3+}})$ или $T(a_0)$ должна существовать тройная точка, в которой сходятся границы, разделяющие фазы $Fm\bar{3}m$, $I4/m$ и $P12_1/n1$. Оценки, основанные на анализе фазовых диаграмм $T(p)$ и $T(R_{B^{3+}})$ кристаллов, претерпевающих последовательные превращения, показали, что тройная точка на диаграмме $T(p)$ может существовать в соединениях с $R_{B^{3+}} \geq 0.88 \text{ \AA}$ [3]. Выполненные в [9] исследования термодинамических свойств Rb_2KErF_6 ($R_{Er^{3+}} = 0.890 \text{ \AA}$) и Rb_2KHoF_6 ($R_{Ho^{3+}} = 0.901 \text{ \AA}$), характеризующихся близкими к «критическому» размерами трехвалентных ионов, показали отсутствие расщепления линии $\Phi\Pi Fm\bar{3}m \rightarrow P12_1/n1$ под давлением до 0.6 GPa. В то же время изменения энтропии ΔS_0 , связанные с моноклинным искажением кубической ячейки ($0.95R$ и $1.13R$ соответственно в эрбиеовом и голмиеевом эльпасолитах), оказалось значительно больше, чем суммарные изменения энтропии $\Sigma \Delta S = \Delta S_1 + \Delta S_2 \approx 0.75R$ в кристаллах с двухэтапным нарастанием искажения [1-3]. Согласно модели [10], связывающей

искажения структуры при ФП в эльпасолитах с малыми поворотами октаэдрических ионных групп B^+F_6 и $B^{3+}F_6$, не должно быть различия энергетических характеристик кристаллов, испытывающих одно и то же результирующее структурное искажение путем одного или последовательных превращений. Характерная величина изменения энтропии, приходящаяся на одну степень свободы октаэдра, — поворот вокруг одной из осей четвертого порядка исходной кубической ячейки — составляет $\Delta S^1 = (0.22 \pm 0.04)R$ [11–15]. И для искажения, которое может рассматриваться как суперпозиция поворотов октаэдров вокруг трех осей четвертого порядка, должно выполняться следующее соотношение: $\Sigma\Delta S \approx 3\Delta S^1$. Это соотношение оказалось справедливым для моноклинного искажения ($P12_1/n1$) при двух (Rb_2RScF_6 и Rb_2KInF_6 [1,2]) и трех (Cs_2RbDyF_6 [13]) последовательных переходах, а также для перехода $Fm\bar{3}m \rightarrow R\bar{3}$ в родственном $CoZrF_6$ [15]. Утверждение о равенстве избыточных энтропий $\Delta S_0 = \Sigma\Delta S_1$ кристаллов, испытывающих единичные и последовательные ФП, справедливо для непосредственных окрестностей тройной точки. Поэтому одной из причин упомянутого выше несоответствия энтропий в соединениях с $B^{3+} = Eg, Ho$, с одной стороны, и с $B^{3+} = Sc, In$ — с другой, по-видимому, может являться удаленность в последних кристаллах температур ФП от тройной точки.

С целью выяснения характера изменения $\Sigma\Delta S$ с ростом размера иона B^{3+} и выполнимости соотношения $\Delta S_0 = \Delta S_1 + \Delta S_2$ для кристаллов $Rb_2KB^{3+}F_6$ в окрестности тройной точки в настоящей работе выполнены измерения теплоемкости эльпасолита Rb_2KLuF_6 , содержащего ион Lu^{3+} с размером (0.861 Å), близким к «критическому», и имеющего узкую область тетрагональной фазы ($\Delta T_t \approx 3\text{--}4$ К) [3] по сравнению со скандиевым ($\Delta T_t \approx 30$ К) и индиевым ($\Delta T_t \approx 18.5$ К) кристаллами [2,3]. Ранее на этом кристалле нами были выполнены оптические, рентгеновские и ДТА под гидростатическим давлением исследования [3].

1. Экспериментальные методы и результаты исследований

Соединение Rb_2KLuF_6 было синтезировано в графитовых тиглях в атмосфере аргона из взятых в стехиометрическом соотношении безводных фторидов RbF , KF и LuF_3 . Бесцветные прозрачные монокристаллы диаметром 9 mm и длиной 15–20 mm были выращены методом Бриджмена в вакуумированных и запаянных платиновых ампулах.

Отбор образцов из разных кристаллизаций проводился с помощью поляризационного микроскопа. Поскольку Rb_2KLuF_6 испытывает сегнетоэластические ФП второго ($Fm\bar{3}m \rightarrow I4/m$ при T_1) и первого ($I4/m \rightarrow P12_1/n1$ при T_2) рода [3], то выбранная методика позволяла проследить за оптической однородностью образцов, температурами превращений и состоянием фазового фронта при ФП между тетрагональной и моноклинной фазами и таким образом охарактеризовать качество кристалла. Из пяти кристаллизаций для калориметрических измерений были выбраны два кристалла, отличающиеся температурами T_1 и T_2 и состоянием доменной структуры. Массы образцов составляли для Lu-1 $m_1 = 5.344$ g и для Lu-2 $m_2 = 4.37$ g.

Теплоемкость обоих кристаллов была измерена на адиабатическом вакуумном калориметре в два этапа. Во-первых, в интервале температур 170–300 К с использованием «банны» с жидким азотом и, во-вторых, от 300 до 430 К в термостате со льдом. В режиме дискретных нагревов температурный шаг измерений составлял 1.5–2.8 К вдали от ФП и вблизи T_i уменьшался до ≈ 0.5 К. Непосредственные окрестности T_1 и T_2 исследованы также методом квазистатических термограмм со скоростями нагрева и охлаждения $|dT/dt| \approx 5 \cdot 10^{-4}$ К · с⁻¹. В качестве датчика температуры образца служил платиновый термометр сопротивления ИС-568А, использованный ранее при измерении теплоемкости Rb_2KErF_6 и Rb_2KHgF_6 [9].

Исследованные образцы характеризовались разными величинами температур ФП и поведением теплоемкости. В одном из них (Lu-2) ФП первого рода $I4/m \rightarrow P12_1/n1$ отличался значительным размытием скрытой теплоты, что совпадало с отсутствием фазового фронта при наблюдении под поляризационным микроскопом. Поэтому, хотя сравнение суммарных термодинамических характеристик дает для обоих исследованных образцов удовлетворительное согласие, в дальнейшем мы будем говорить лишь о лучшем из них, а именно о Lu-2.

На рис. 1, *a*, *b* представлены результаты измерений теплоемкости системы образец + фурнитура в широкой области температур и в окрестностях структурных превращений. Аномалии теплоемкости, связанные с последовательными ФП, имеют максимумы при температурах $T_1 = 370.00$ К и $T_2 = 366.35$ К. Эти температуры значительно отличаются

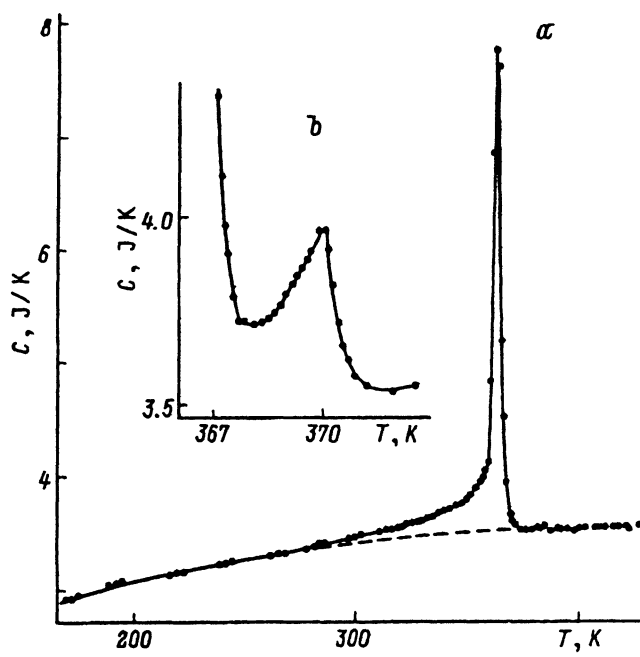


Рис. 1. Температурная зависимость теплоемкости системы кристалл Rb_2KLuF_6 + фурнитура в широкой области температур (*a*) и вблизи фазовых переходов $Fm\bar{3}m \rightarrow I4/m \rightarrow P12_1/n1$ (*b*).

Штриховая линия соответствует регулярной части теплоемкости.

ются от сообщавшихся ранее для образца, исследованного под гидростатическим давлением [3]. Необходимо отметить, что большие расхождения температур ФП от кристалла к кристаллу свойственны фторидам с перовскитоподобной структурой [16]. Измерения в режиме непрерывных нагрева и охлаждения позволили определить для превращения $I4/m \rightarrow P12_1/n1$ величины гистерезиса $\delta T_2 = 1.38$ К и скачка энталпии $\delta H_2 = 960 \pm 150$ $J \cdot mol^{-1}$, а также показали, что ФП $Fm\bar{3}m \rightarrow I4/m$ остается непрерывным и вблизи тройной точки на диаграмме $T(a_0)$. Регулярный и аномальный вклады в теплоемкость системы образец + фурнитура были разделены путем графической экстраполяции теплоемкости кубической фазы в область низких температур. Избыточная теплоемкость существует в очень широком интервале искаженных фаз $T_1 - 115$ К и в то же время в кубической фазе $T_1 + 12$ К. Ввиду узости температурного интервала существования тетрагональной фазы ($T_1 - T_2 = 3.65$ К) разделить энергетические вклады в каждое из структурных превращений не представляется возможным. Поэтому путем интегрирования функции $\Delta C(T)$ была определена только суммарная величина изменения энталпии $\Sigma \Delta H = \Delta H_1 + \Delta H_2 = 3200 \pm 250$ $J \cdot mol^{-1}$. Сравнение настоящих данных, полученных в адиабатическом калориметре, с результатами исследования Rb_2KLuF_6 методом дифференциального сканирующего микрокалориметра $\Sigma \Delta H \approx 1500 \pm 300$ $J \cdot mol^{-1}$ [3] свидетельствует о том, что последний метод позволяет определить лишь часть энталпии, которая в большей степени соответствует скрытой теплоте δH_2 , что уже отмечалось при изучении эльпасолита Rb_2KFeF_6 [17]. Температурная зависимость избыточной энтропии представлена на рис. 2, а ее величина, соответствующая насыщению, составляет $\Sigma \Delta S = 8.73 \pm 0.65$ $J \cdot (mol \cdot K)^{-1}$.

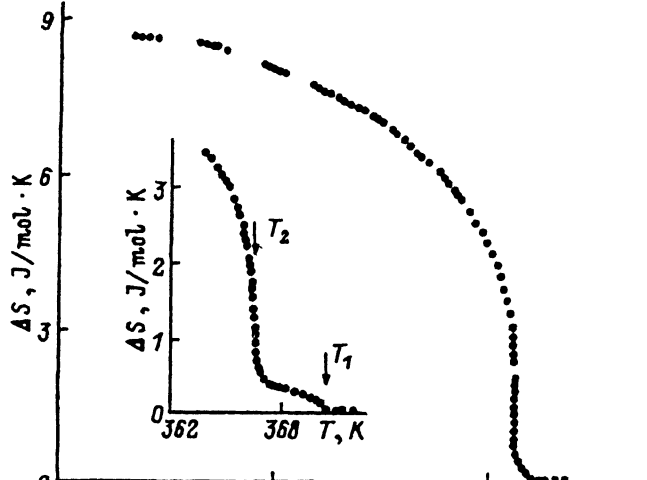


Рис. 2. Температурная зависимость избыточной энтропии Rb_2KLuF_6 .

2. Анализ и обсуждение результатов

Одним из основных экспериментальных результатов настоящей работы является определение в эльпасолите $\text{Rb}_2\text{KL}\text{uF}_6$ величины полного изменения энтропии, связанного с последовательностью структурных превращений. Это позволило однозначно установить, что в ряду кристаллов $\text{Rb}_2\text{KB}^{3+}\text{F}_6$ увеличение размера иона B^{3+} сопровождается не только ростом температур ФП, но и постепенным увеличением $\Sigma\Delta S$, свидетельствующим в пользу существования тройной точки на фазо-

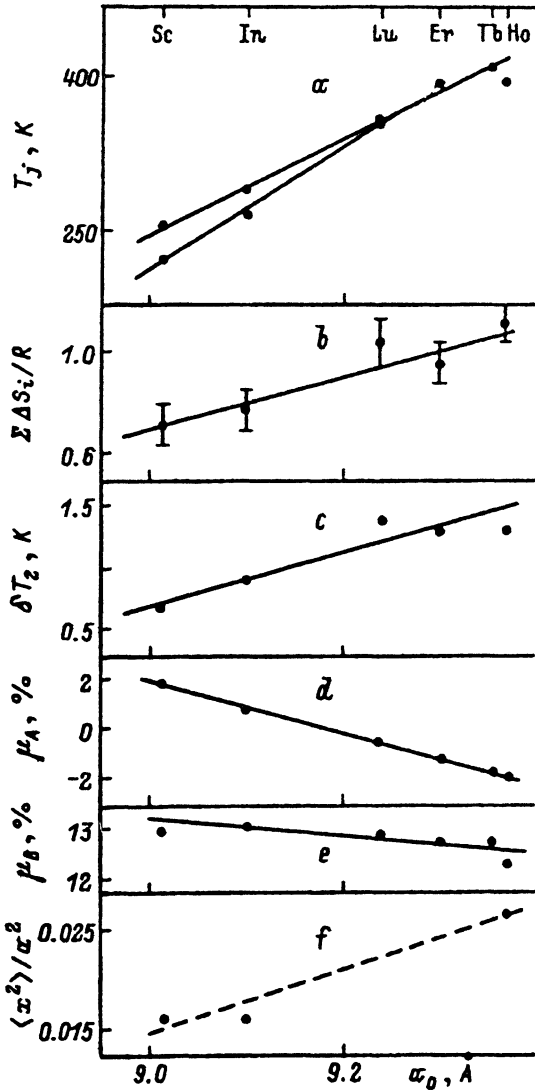
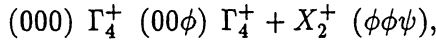
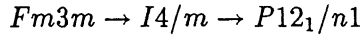


Рис. 3. Влияние параметра кубической ячейки a_0 эльпасолитов $\text{Rb}_2\text{KB}^{3+}\text{F}_6$ на температуры ФП (a), полную избыточную энтропию (b), гистерезис температуры ФП в моноклинную фазу δT (c), напряженности связей μ_A (d) и μ_B (e), параметр ангармоничности колебаний атомов фтора (f).

вой диаграмме $T(a_0)$ (рис. 3, а, б). Действительно, $\Sigma \Delta S$ в Rb_2KLuF_6 достигает значения, свойственного Rb_2KErF_6 и Rb_2KHoF_6 [9], испытывающим ФП непосредственно между кубической и моноклинной фазами; таким образом, выполняется соответствие энтропий $\Delta S_1 + \Delta S_2 = \Delta S_0$ по обе стороны тройной точки.

Согласно теоретико-групповому анализу всех возможных ФП из группы $Fm3m$ [5, 10], структурные превращения, сопровождающиеся лишь поворотами октаэдрических ионных групп, могут быть связаны с двумя неприводимыми представлениями Γ_4^+ и X_2^+ . В терминах модели [10] искажения решетки эльпасолитов $\text{Rb}_2\text{KB}^{3+}\text{F}_6$ могут быть представлены следующим образом:



где ϕ и ψ — повороты октаэдров KF_6 и B^{3+}F_6 вокруг осей четвертого порядка соответственно в фазе и противофазе в соседних слоях октаэдров. ФП $Fm3m \rightarrow P12_1/n1$ является триггерным, так как в этом случае реализация моноклинного искажения связана с двумя типами поворотов октаэдров, т. е. ФП может быть результатом конденсации моды Γ_4^+ с заполнением моды X_2^+ (или наоборот) [5].

Термодинамический потенциал, описывающий в общем виде возможные ФП в эльпасолитах, записан в [10]. Применительно к рассматриваемым превращениям в кристаллах $\text{Rb}_2\text{KB}^{3+}\text{F}_6$ потенциал может рассматриваться в упрощенном виде [18]

$$\Delta\Phi = A_{\text{т}}(T - T_{\text{cl}})\eta^2 + B\eta^4 + C\eta^6 + A'\zeta^2 + B'\zeta^4 + D\eta^2\zeta^2. \quad (1)$$

Здесь $\eta(\Gamma_4^+)$ и $\zeta(X_2^+)$ — параметры ФП, соответствующие смещениям атомов фтора, обусловленным поворотами октаэдров. Поскольку при реализации моноклинного искажения существует ϕ -поворот вокруг двух осей, т. е. η является двухкомпонентным параметром, то $\eta^2 = (\eta_1^2 + \eta_2^2)$. Согласно [18], $D\eta^2\zeta^2$ в (1) является перекрестным членом с нижайшими степенями η и ζ , что служит условием осуществления триггерного ФП. Необходимым условием появления отличного от нуля параметра ζ при $A' > 0$ и $B' > 0$ является $D < 0$ [18]. Поскольку экспериментальным путем показано, что во всех исследованных фтористых эльпасолитах ФП $Fm3m \rightarrow I4/m$ является непрерывным, то для этого случая $T_{01} = T_{\text{cl}}$, $B > 0$ и выражение для свободной энергии (1) в силу $\eta_1 \neq 0$, $\eta_2 = 0$, $\zeta = 0$ упрощается до вида, позволяющего проанализировать поведение физических свойств, в частности теплоемкости, в тетрагональной фазе и определить таким образом соотношение между коэффициентами (1) и степень близости N ФП в Rb_2KLuF_6 к трикритической точке, как это было ранее сделано для скандиевого и индиевого эльпасолитов на основании следующих выражений [2, 3]:

$$(\Delta C_p/T)^{-2} = 4B^2/A_{\text{т}}^4 + 12C/A_{\text{т}}^3(T_{01} - T), \quad (2)$$

$$N = \left[(T^* - T_{01})/T_{01} \right]^{0.5}. \quad (3)$$

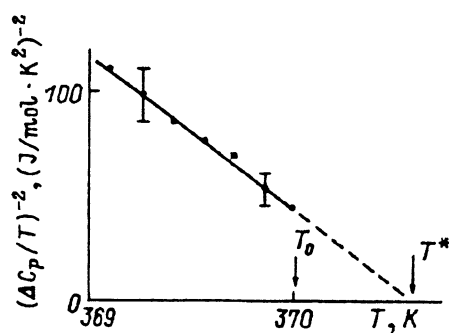


Рис. 4. Зависимость величины $(\Delta C_p/T)^{-2}$, (J/mol·K²)⁻² от температуры в тетрагональной фазе Rb₂KLuF₆.

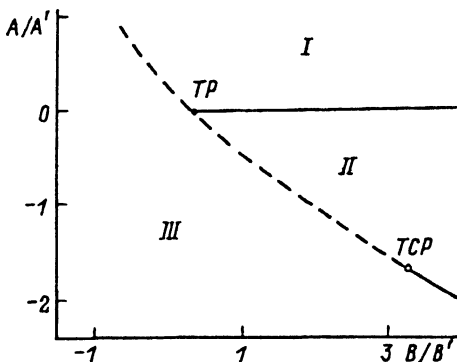


Рис. 5. Фазовая диаграмма в плоскости A-B, построенная на основе решения (1) при $b = 1$ и $D/B' < 0$ [18].

Применительно к эльпасолитам Rb₂KB³⁺F₆: I — Fm3m, II — I4/m, III — P12₁/n1. Штриховые и сплошные линии соответствуют ФП первого и второго рода. ТР — тройная точка, TCP — трикритическая точка.

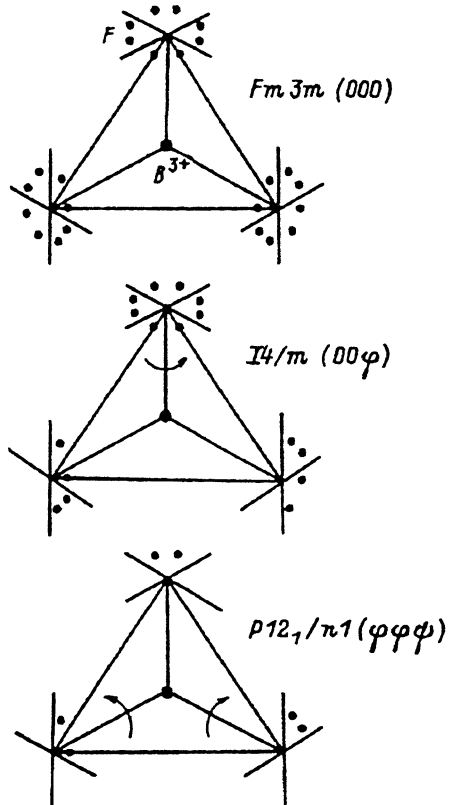


Рис. 6. Возможные позиции атомов фтора (192l) в кубической и искаженных фазах эльпасолитов.

Стрелками показаны повороты октаэдров, соответствующие искажениям структуры.

Здесь T^* — температура обращения в нуль функции $(\Delta C_p/T)^{-2}(T)$. Из рис. 4 видно, что в соответствии с (2) зависимость обратного квадрата избыточной теплоемкости от температуры является линейной вблизи T_1 для Rb₂KLuF₆. В таблице приведены термодинамические характеристики ФП Fm3m → I4/m для фтористых эльпасолитов, испытывающих последовательные превращения. Величина N достаточно мала, например, по сравнению с Cs₂RbDyF₆ ($N = 0.12$), претерпевающим последовательные превращения Fm3m → I4/m → C2/m → P12₁/n1 [15]. Значит структурное превращение в тетрагональную фазу в кристаллах Rb₂KB³⁺F₆ близко к трикритической точке, но в то же время наблюдается относительное постоянство величины N по мере приближения к тройной точке на фазовой диаграмме $T(a_0)$. Не отличаются при этом в значительной мере и соотношения коэффициентов (1) (см. таблицу).

	Sc [2]	In [3]	Lu
N	0.04	0.06	0.04
$A_x^2/B, 10^3 J \cdot m^{-3} \cdot K^{-2}$	3.47 ± 1.25	1.73 ± 0.64	2.51 ± 1.15
$A_x^3/C, 10^7 J^2 \cdot m^{-6} \cdot K^{-3}$	1.04 ± 0.42	0.97 ± 0.42	1.14 ± 0.45

Возможные фазовые диаграммы в координатах $A/A' - B/B'$, описывающие последовательные и триггерные ФП на основе (1), проанализированы в [18]. Связь между коэффициентами термодинамического потенциала имеет следующий вид: $A/A' = 1/4(B/B')^2 b$, где $b = (B')^2/CA'$. Различные варианты диаграмм, полученные при фиксированных значениях величины b и при условии $D/B' < 0$, отличаются положением трикритических и тройных точек на линиях фазовых переходов. Одна из диаграмм позволяет качественно описать экспериментально наблюдаемую ситуацию в ряду эльпасолитов $Rb_2KB^{3+}F_6$ (рис. 5). Здесь сплошные и штриховые линии соответствуют ФП второго и первого рода. Поскольку ФП $Fm\bar{3}m \rightarrow I4/m$ — ФП второго рода в исследованном ряду кристаллов, т. е. он всегда реализуется при условии $A/A' = 0$, то на диаграмме фазовая граница этих превращений представляет собой горизонтальную линию. Тройная точка на этой линии лежит в области $B/B' > 0$. Что касается трикритической точки, то наблюдавшееся постоянство величины N свидетельствует о том, что она не достигается в эльпасолитах $Rb_2KB^{3+}F_6$ (B^{3+} : Sc, In, Lu) и лежит за пределами тройной точки.

Превращение $I4/m \rightarrow P12_1/n1$ — первого рода, гистерезис δT_2 растет от кристалла к кристаллу и по мере приближения к тройной точке достигает величины, свойственной для ФП $Fm\bar{3}m \rightarrow P12_1/n1$ (рис. 3, с). Иными словами, происходят удаление ФП от трикритической точки с ростом $R_{B^{3+}}$ (или a_0) и уменьшение соотношения коэффициентов B/B' . Таким образом, в окрестности тройной точки фазовые границы, соответствующие вышеизложенным ФП, являются линиями превращений первого рода, а трикритическая точка ФП между тетрагональной и моноклинной фазами лежит вдали от тройной точки в области положительных значений B/B' (рис. 5).

ФП в эльпасолитах и в большинстве кристаллов других перовскито-подобных семейств обусловлены мягкими модами решеточных колебаний и являются таким образом превращениями типа смещения [18]. Изменения энтропии, связанные с поворотами октаэдров вокруг одной из осей четвертого порядка кубической фазы, являются характерной величиной (см. выше), и при последовательных превращениях суперпозиции поворотов октаэдров соответствует суммирование энтропий, соответствующих одной степени свободы октаэдра. В рассматриваемом ряду кристаллов, характеризующихся одним типом низкотемпературного искажения, обнаружено возрастание полного изменения энтропии $\Sigma \Delta S$ по мере приближения к тройной точке. Что является причиной роста $\Sigma \Delta S$? Не происходит ли изменения типа структурных превращений с увеличением a_0 (или $R_{B^{3+}}$)? Попытаемся ответить на

эти вопросы, учитывая особенности положения в структуре эльпасолита атомов фтора.

В рамках простейшей модели упругих шаров устойчивость исходной кубической фазы в перовскитоподобных кристаллах, к которым относятся и эльпасолиты, определяется соотношением размеров отдельных атомов и параметров элементарной ячейки, или, по терминологии [18], напряженностью связей атомов в цепочках Rb-F и K-F-B³⁺-F-K в структуре кристаллов Rb₂KB³⁺F₆. Напряженности связей характеризуются количественно следующими величинами [19]:

$$\mu_B = (a_p - a_0)/a_p, \quad \mu_A = (a'_p - a_0)/a'_p. \quad (4)$$

Здесь $a_p = 2(R_K + 2R_F + R_{B^{3+}})$ и $a'_p = 2\sqrt{2}(R_{Rb} + R_F)$. Рост напряженности связи μ_B эквивалентен возрастанию в потенциале кристалла энергии отталкивания и приводит к усилению анизотропии движения атомов фтора и, таким образом, к понижению устойчивости исходной фазы. Возрастание μ_A в свою очередь стабилизирует исходную фазу (снижает температуру ФП), так как препятствует повороту октаэдров. Из рис. 3, d, e видно, что для эльпасолитов Rb₂KB³⁺F₆ увеличение параметра a_0 за счет роста размера иона B³⁺ очень мало изменяет μ_B , а наблюдавшийся экспериментально рост температуры ФП из кубической фазы обусловлен уменьшением величины μ_A , способствующим нарастанию анизотропии колебаний атомов фтора. Действительно, структурные исследования показали, что в кубической фазе наиболее предпочтительным для атомов фтора является не положение на ребре ячейки (24e), а распределение по восьми позициям (192l) [20]. В экспериментах по исследованию рамановских спектров установлено, что в кубической и искаженных в результате ФП фазах октаэдры остаются правильными [5, 20]. В связи с высказанным атомам фтора в различных фазах соответствуют положения, показанные на рис. 6. Подобная ситуация наблюдалась ранее в галоидных перовскитах и послужила причиной возникновения предположения о реализации в этих кристаллах ФП типа порядок-беспорядок [21]. В то же время из обширного набора экспериментальных данных по изучению теплоемкости следует, что изменения энтропии при ФП в этих структурах очень малы, что свидетельствует в пользу превращений типа смешения [11]. Простой расчет показывает, что в случае реализации ФП Fm3m → I4/m и I4/m → P12₁/n1 как превращений порядок-беспорядок изменения энтропии в эльпасолитах должны составлять соответственно $\Delta S_1/R = \ln(N_{\text{cub}}/N_{\text{tetr}}) = 0.405$ и $\Delta S_2/R = \ln(N_{\text{tetr}}/N_{\text{mon}}) = 0.98$, где $N_{\text{cub}} = 48$, $N_{\text{tetr}} = 32$ и $N_{\text{mon}} = 12$ — числа возможных положений шести атомов фтора одного октаэдра соответственно в кубической тетрагональной и моноклинной фазах (рис. 6). Для превращения непосредственно между кубической и моноклинной фазами $\Delta S_0/R = (\Delta S_1 + \Delta S_2)/R = 1.385$. Экспериментально определенные величины ΔS_1 , ΔS_2 , ΔS_0 существенно меньше, чем для случая «чистого» упорядочения. И все-таки увеличение изменения энтропии $\Sigma \Delta S$ в ряду Rb₂KB³⁺F₆ при увеличении радиуса иона B³⁺ является значительным. В связи с этим необходимо отметить, что наряду с анизотропией для колебаний атомов галогенов в эльпасолитах характерен также существенный ангармонизм

[22–24]. Количество ангармонизм может быть представлен парметром, оцениваемым как квадрат отношения амплитуды колебаний ионов к среднему межатомному расстоянию [25]: $\delta \approx \langle x^2 \rangle / a^2 \ll 1$. Из рис. 3, b, f видно, что увеличение полного изменения энтропии от кристалла к кристаллу, соответствующего моноклинному искажению, сопровождается заметным ростом параметра ангармоничности δ атомов фтора. Это говорит, на наш взгляд, о том, что в исследованном ряду эльпасолитов $Rb_2KB^{3+}F_6$ ФП являются близкими к превращениям типа смещения в кристаллах с малым ионным радиусом $R_{B^{3+}}$. С ростом параметра ячейки a_0 ангармонизм колебаний растет, и переходы могут приближаться к превращениям типа порядок–беспорядок. Одним из доказательств последнего предположения может служить тот экспериментальный факт, что мягкие моды не были обнаружены в кубической фазе Rb_2KHF_6 , испытывающего ФП $Fm\bar{3}m \rightarrow P12_1/n1$ [26]. На данном этапе кажется несомненно полезным исследование неупругого рассеяния нейtronов в кубической фазе эльпасолитов, претерпевающих последовательные ФП, которое будет выполнено в ближайшее время.

Рассмотрение ФП в качестве превращений типа смещения или порядок–беспорядок соответствует двум предельным моделям. Результаты изучения ряда эльпасолитов $Rb_2KB^{3+}F_6$ свидетельствуют в пользу того, что ФП «промежуточного» типа вполне вероятны.

Выражаем признательность С.В.Мельниковой за помощь в аттестации образцов поляризационно-оптическим методом и Российскому фонду фундаментальных исследований за поддержку настоящих исследований (проект 93-02-24-25).

Список литературы

- [1] Flerov I.N., Tressaud A., Aleksandrov K.S., Couzi M., Gorev M.V., Grannec J., Melnikova S.V., Chaminade J.-P., Misyl S.V., Voronov V.N. Ferroelectrics **124**, 2, 309 (1991).
- [2] Флеров И.Н., Горев М.В., Мельникова С.В., Мисюль С.В., Воронов В.Н., Александров К.С. ФТТ **34**, 7, 2185 (1992).
- [3] Флеров И.Н., Горев М.В., Мельникова С.В., Мисюль С.В., Воронов В.Н., Александров К.С., Трессо А., Граннек Ж., Шаминад Ж.-П., Рабардель Л., Генгар Х. ФТТ **34**, 11, 3493 (1992).
- [4] Tressaud A., Khairoun S., Chaminade J.-P., Couzi M. Phys. Stat. Sol. (a) **98**, 1, 417 (1986).
- [5] Couzi M., Khairoun S., Tressaud A. Phys. Stat. Sol. (a) **98**, 1, 423 (1986).
- [6] Воронов В.Н., Горев М.В., Мельникова С.В., Мисюль С.В., Флеров И.Н. ФТТ **33**, 10, 2945 (1991).
- [7] Горев М.В., Флеров И.Н., Искорнев И.М., Воронов В.Н. ФТТ **26**, 5, 1285 (1984).
- [8] Горев М.В., Флеров И.Н., Воронов В.Н., Мисюль С.В. ФТТ **35**, 4, 1022 (1993).
- [9] Флеров И.Н., Горев М.В., Воронов В.Н., Трессо А., Граннек Ж. ФТТ **38**, 3, 711 (1996).
- [10] Александров К.С., Мисюль С.В. Кристаллография **26**, 8, 1074 (1981).
- [11] Флеров И.Н., Горев М.В. Изв. АН СССР. Сер. физ. **51**, 12, 2190 (1987).
- [12] Flerov I.N., Gorev M.V., Aleksandrov K.S. Ferroelectrics **106**, 1, 207 (1990).
- [13] Горев М.В., Искорнев И.М., Кот Л.А., Мисюль С.В., Флеров И.Н. ФТТ **27**, 6, 1723 (1985).
- [14] Флеров И.Н., Горев М.В., Усачев А.Е. ФТТ **36**, 1, 106 (1994).
- [15] Gorev M.V., Flerov I.N., Tressaud A., Grannec J., Rodriguez V., Couzi M. Phys. Stat. Sol. (b) **169**, 1, 65 (1992).

- [16] Горев М.В., Флеров И.Н., Воронов В.Н., Мисюль С.В. ФТТ **35**, 4, 1022 (1993).
- [17] Горев М.В., Флеров И.Н., Воронов В.Н., Трессо А., Границек Ж., Шамина-над Ж.-П. ФТТ **36**, 4, 1221 (1994).
- [18] Holakovský J. Phys. Stat. Sol. (b) **56**, 2, 615 (1973); Ishibashi Y. J. Phys. Soc. Jpn. **63**, 6, 2082 (1994).
- [19] Александров К.С., Анистратов А.Т., Безносиков С.В., Федосеева Н.В. Фазовые переходы в кристаллах галоидных соединений ABX_3 . Новосибирск (1981). 264 с.
- [20] Guengard H. Transitions de phases strusturales dans des elpasolites fluorees These Docteur. Laboratoire de Chimie du Solide. Bordeuax (1994). 172 p.
- [21] Rousseau M., Bulou A., Ridou C., Hewat A.W. Ferroelectrics **26**, 1/4, 447 (1990).
- [22] Шевырев А.А., Мурадян Л.А., Заводник В.Е., Александров К.С., Симонов В.И. Кристаллография **25**, 3, 555 (1980).
- [23] Hatton J., Nelmes R.J. J. Phys. C: Solid State Phys. **14**, 12, 1713 (1981).
- [24] Makarova I.P., Misjul S.V., Muradyan L.A., Bovina A.F., Simonov V.I., Aleksandrov K.S. Phys. Stat. Sol. (b) **121**, 2, 481 (1984).
- [25] Вакс Б.Г. Введение в микроскопическую теорию сегнетоэлектриков. М. (1973). 327 с.
- [26] Bührer W., Boni P., Flerov I.N. Neutron-Streuung (Progress Report). Labor für Neutronenstreuung Eidg. Technische Hochschule Zurich. (1992). P. 136.